

Работа 3.2.6

Исследование гальванометра

Цель работы: изучение работы высокочувствительного магнитозеркального гальванометра магнитоэлектрической системы в режимах измерения постоянного тока и электрического заряда.

Оборудование: зеркальный гальванометр с осветителем и шкалой, источник постоянного напряжения, делитель напряжения, магазин сопротивлений, эталонный конденсатор, вольтметр, переключатель, ключ, линейка.

1. Теоретическая справка

Устройство. Баллистический гальванометр - электроизмерительный прибор магнитоэлектрической системы, отличающийся высокой чувствительностью и сравнительно большим периодом колебаний подвижной части. Он представляет собой скрепленную с полым цилиндром проводящую рамку, подвешенную на нити в радиально направленном постоянном магнитном поле (см. рис. 1). На рамке закреплено зеркало, служащее для измерения угла поворота.

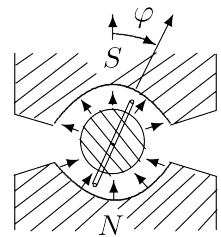


Рис. 1: Рамка с током в магнитном поле

Уравнение движения. Введем следующие обозначения: φ - угол поворота рамки, D - модуль кручения, S - площадь рамки, N - число витков, I - сила тока в рамке при отсутствии ЭДС индукции, B - индукция магнитного поля, R_{Σ} - общее сопротивление цепи, J - момент инерции подвижной системы. Если пренебречь сопротивлением воздуха, то уравнение движения записывается в виде

$$J\ddot{\varphi} + \frac{(BSN)^2}{R_{\Sigma}}\dot{\varphi} + D\varphi = BSNI. \quad (1)$$

Введем обозначения

$$\begin{cases} 2\gamma = \frac{(BSN)^2}{JR_{\Sigma}}, \\ \omega_0^2 = \frac{D}{J}, \\ K = \frac{BSN}{J}. \end{cases} \quad (2)$$

Таким образом, уравнение (1) примет вид

$$\ddot{\varphi} + 2\gamma\dot{\varphi} + \omega_0^2\varphi = KI. \quad (3)$$

Заметим, что данное уравнения является уравнением затухающих колебаний с коэффициентом затухания γ и собственной частотой ω_0 .

Режим измерения постоянного тока. Если $I = \text{const}$, то по прошествии некоторого времени колебания затухнут, и можно принять $\varphi = \text{const}$. Тогда из уравнения (3) легко получить

$$\varphi = \frac{K}{\omega_0^2}I = \frac{BSN}{D}I = \frac{I}{C_I}. \quad (4)$$

C_I называется *динамической постоянной* гальванометра и определяется выражением

$$C_I = \frac{I}{\varphi} = \frac{D}{BSN}. \quad (5)$$

Свободные колебания рамки. Пусть $I = 0$ и выполнены следующие начальные условия:

$$\begin{cases} \varphi(t=0) = 0, \\ \dot{\varphi}(t=0) = \dot{\varphi}_0. \end{cases} \quad (6)$$

Тогда в зависимости от γ и ω_0 решение уравнения (3) имеет вид

$$\begin{cases} \varphi = \frac{\dot{\varphi}_0}{\omega} e^{-\gamma t} \sin \omega t, & \gamma < \omega_0 \text{ (колебательный режим);} \\ \varphi = \dot{\varphi}_0 t e^{-\gamma t}, & \gamma = \omega_0 \text{ (критический режим);} \\ \varphi = \frac{\dot{\varphi}_0}{\varkappa} e^{-\gamma t} \operatorname{sh} \varkappa t, & \gamma > \omega_0 \text{ (апериодический режим).} \end{cases} \quad (7)$$

Здесь \varkappa и ω определяются соотношениями

$$\begin{cases} \omega^2 = \omega_0^2 - \gamma^2, \\ \varkappa^2 = \gamma^2 - \omega_0^2. \end{cases} \quad (8)$$

В случае колебательного режима можно ввести логарифмический декремент затухания Θ :

$$\Theta = \ln \frac{\varphi_n}{\varphi_{n+1}}, \quad (9)$$

где φ_n и φ_{n+1} - углы последовательных отклонений в одну сторону с номерами n и $n+1$. Из (7) в случае малого затухания ($\gamma \ll \omega$) легко получить выражение для Θ :

$$\Theta = \gamma T, \quad (10)$$

где T - период колебаний:

$$T = \frac{2\pi}{\omega}. \quad (11)$$

Заметим, что при приближении к критическому режиму $\Theta \rightarrow \infty$.

Режим измерения заряда. Теперь рассмотрим ситуацию, когда через гальванометр проходит короткий импульс тока. Будем считать, что продолжительность импульса τ достаточно мала ($\tau \ll T$), и отклонением рамки можно пренебречь. Пусть через рамку протекал ток с момента времени $t = 0$ до момента времени $t = \tau$. Проинтегрировав уравнение (3) с учетом приближения $\varphi \approx 0$, получим

$$\dot{\varphi}(\tau) = K \int_0^{\tau} I dt. \quad (12)$$

Заряд, прошедший через гальванометр выражается формулой

$$q = \int_0^{\tau} I dt + \int_0^{\tau} I_{\text{инд}} dt, \quad (13)$$

где $I_{\text{инд}}$ - индукционный ток. Заметим, что $I_{\text{инд}} \sim \dot{\varphi}$, а значит

$$\int_0^{\tau} I_{\text{инд}} dt \sim \int_0^{\tau} \dot{\varphi} dt = \varphi(\tau) \approx 0. \quad (14)$$

Поэтому зарядом, протекшим в результате индукционного тока, можно пренебречь, и выражение (13) примет вид

$$q = \int_0^{\tau} I dt. \quad (15)$$

Отсюда и из выражения (12) получим

$$\dot{\varphi}(\tau) = Kq. \quad (16)$$

Из выражения (7) легко видеть, что при любом режиме максимальное отклонение от положения равновесия $\varphi_{\max} \sim \dot{\varphi}_0 \stackrel{(16)}{\sim} q$. Таким образом, величина

$$C_q = \frac{q}{\varphi_{\max}}, \quad (17)$$

называемая *баллистической постоянной*, зависит только от параметров цепи.

Можно показать, что при неизменном q максимальное отклонение достигается при отсутствии затухания и определяется выражением

$$\varphi_{\max \text{ св}} = \frac{\dot{\varphi}(\tau)}{\omega_0} = \frac{Kq}{\omega_0}. \quad (18)$$

В критическом режиме, когда система быстрее всего приходит в равновесие, максимальное отклонение в e раз меньше:

$$\varphi_{\max \text{ кр}} = \frac{Kq}{\omega_0 e}. \quad (19)$$

Отсюда следует выражение для баллистических констант:

$$\frac{C_{Q \text{ кр}}}{C_{Q \text{ св}}} = e. \quad (20)$$

2. Определение динамической постоянной

Экспериментальная установка. Схема для измерений в стационарном режиме приведена на рис. 2. Значение входного напряжения $U = 1,32 \pm 0,02$ В, сопротивления гальванометра $R_0 = 475 \pm 1$ Ом. Сопротивление R можно изменять.

Угол отклонения рамки от положения равновесия измеряется с помощью осветителя, зеркала, закрепленного на рамке, и шкалы, на которую отражается свет. Если обозначить координату светового пятна за x и считать $x \ll a$, то выражение для угла отклонения примет вид

$$\varphi = \frac{x}{2a}, \quad (21)$$

где $a = 128 \pm 1$ см - расстояние от шкалы до зеркала. Таким образом, из выражения (5) легко получить формулу для динамической постоянной:

$$C_I = \frac{2aI}{x} \quad (22)$$

Отсюда следует выражение для зависимости $I(x)$:

$$I = x \frac{C_I}{2a}. \quad (23)$$

При $R_1 \ll R + R_0$ сила тока, протекающего через гальванометр, выражается формулой

$$I = U \frac{R_1}{R_2} \frac{1}{R + R_0}. \quad (24)$$

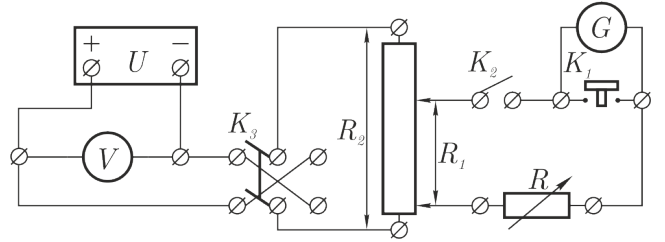


Рис. 2: Схема установки для работы в стационарном режиме

По этой формуле мы можем рассчитать токи по значениям сопротивления R , и, таким образом, получить экспериментальную зависимость $I(x)$. Согласно (23), она должна быть линейной, и по ее коэффициенту наклона k мы сможем вычислить C_I :

$$C_I = 2ka. \quad (25)$$

Обработка результатов. Экспериментальные данные вместе с пересчитанными значениями занесены в таблицу 1.

| | | | | | | | | | |
|-----------------|-----|-----|-----|------|------|------|------|------|------|
| R , кОм | 90 | 80 | 70 | 60 | 50 | 40 | 30 | 25 | 23 |
| x , см | 5,6 | 6,3 | 7,2 | 8,3 | 10 | 12,6 | 16,9 | 20,3 | 22,2 |
| I , нА | 7,3 | 8,2 | 9,4 | 10,9 | 13,1 | 16,3 | 21,7 | 25,9 | 28,1 |
| ΔI , нА | 0,1 | 0,1 | 0,1 | 0,2 | 0,2 | 0,2 | 0,3 | 0,4 | 0,4 |

Таблица 1: Данные для измерения C_I

Здесь ΔI - погрешность силы тока, вычисляемая по формуле

$$\Delta I = \frac{\Delta U}{U}, \quad (26)$$

т.к., сопротивление R_0 мало по сравнению с R , и мы считаем, что сопротивление магазина измеряется точно. За погрешность измерения x принимается $\Delta x = 0,05$ см.

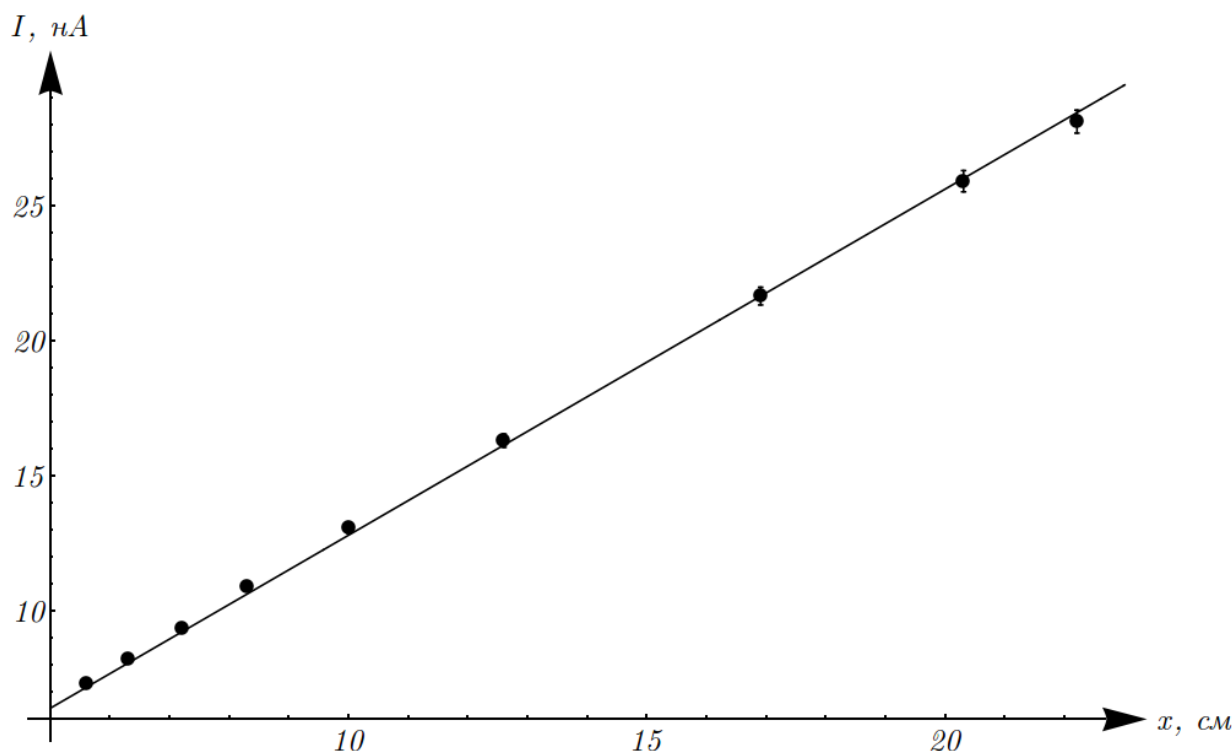


Рис. 3: График зависимости $I(x)$

По этим данным построим график зависимости $I(x)$, он изображен на рис. 3. Из графика находим значение коэффициента наклона:

$$k = (1,28 \pm 0,01) \cdot 10^{-7} \text{ А/м}. \quad (27)$$

Отсюда по формуле (25) находим значение C_I :

$$C_I = (3,28 \pm 0,04) \cdot 10^{-7} \text{ А}, \quad (28)$$

погрешность C_I была вычислена по формуле

$$\Delta C_I = C_I \sqrt{\left(\frac{\Delta a}{a}\right)^2 + \left(\frac{\Delta k}{k}\right)^2}. \quad (29)$$

3. Определение критического сопротивления гальванометра

Экспериментальная установка. В этой части измерения проводятся на той же схеме, что и в предыдущей, но при свободных колебаниях рамки.

При достаточно больших R из (2) следует, что $\gamma < \omega_0$ и, согласно (7), наблюдается колебательный режим. С уменьшением R затухание увеличивается, и при $R = R_{кр}$ движение рамки переходит в критический режим. При $R > R_{кр}$ движение апериодическое.

Выразим логарифмический декремент затухания через параметры цепи. Подставляя в (10) выражения для периода из (11), ω из (8), γ и ω_0 из (2), находим:

$$\Theta = \frac{2\pi R_3}{\sqrt{(R + R_0)^2 - R_3^2}}, \quad (30)$$

где R_3 определяется выражением

$$R_3 = \frac{(BSN)^2}{2\sqrt{JD}}. \quad (31)$$

Для измерения Θ мы будем измерять начальное отклонение луча x_0 и отклонение после одного колебания x_1 . Тогда логарифмический декремент затухания определяется выражением

$$\Theta = \ln \frac{x_0}{x_1}. \quad (32)$$

Теперь преобразуем равенство (30):

$$\frac{1}{\Theta^2} = \frac{(R_0 + R)^2}{4\pi^2 R_3^2} - \frac{1}{4\pi^2}. \quad (33)$$

Отсюда график зависимости $\frac{1}{\Theta^2} ((R_0 + R)^2)$ должен быть линейен, и его коэффициент наклона определяется выражением

$$k = \frac{1}{4\pi^2 R_3^2}. \quad (34)$$

Нам осталось выразить R_3 через известные параметры схемы и $R_{кр}$. Для этого вспомним, что при приближении к критическому режиму, то есть при $R \rightarrow R_{кр}$, $\Theta \rightarrow \infty$. Отсюда и из выражения (30) легко получить формулу для R_3 :

$$R_3 = R_0 + R_{кр}. \quad (35)$$

Окончательно, подставив результат в (34), получим выражение для $R_{кр}$:

$$R_{кр} = \frac{1}{2\pi\sqrt{k}} - R_0. \quad (36)$$

Обработка результатов. Сначала оценим $R_{кр}$. Для этого подберем наибольшее значение $R_{кр}$, при котором колебаний еще не наблюдается. Получим

$$R_{кр} \approx 9,1 \pm 0,2 \text{ кОм}. \quad (37)$$

| | | | | | | | |
|---|-------|-------|-------|-------|-------|-------|-------|
| R , кОм | 30 | 33 | 36 | 39 | 42 | 45 | 48 |
| x_0 , см | 16,9 | 15,4 | 15,4 | 17,0 | 24,0 | 22,1 | 20,7 |
| x_1 , см | 2,1 | 2,5 | 3,2 | 3,9 | 5,7 | 6,2 | 6,3 |
| $\frac{1}{\Theta^2}$ | 0,23 | 0,30 | 0,41 | 0,46 | 0,48 | 0,62 | 0,71 |
| $\Delta\Theta^2$ | 0,02 | 0,02 | 0,03 | 0,02 | 0,02 | 0,02 | 0,02 |
| $(R + R_0)^2$, Ом ² · 10 ⁸ | 9,29 | 11,21 | 13,30 | 15,58 | 18,04 | 20,68 | 23,50 |
| R , кОм | 51 | 54 | 60 | 70 | 80 | 90 | - |
| x_0 , см | 20,5 | 18,3 | 16,5 | 23,2 | 20,3 | 18,0 | - |
| x_1 , см | 6,7 | 6,1 | 6,3 | 10,3 | 9,5 | 9,7 | - |
| $\frac{1}{\Theta^2}$ | 0,80 | 0,83 | 1,08 | 1,52 | 1,73 | 2,62 | - |
| $\Delta\Theta^2$ | 0,03 | 0,03 | 0,04 | 0,03 | 0,04 | 0,06 | - |
| $(R + R_0)^2$, Ом ² · 10 ⁸ | 26,50 | 29,68 | 36,57 | 49,67 | 64,76 | 81,86 | - |

Таблица 2: Данные для измерения $R_{кр}$

Погрешность была оценена по минимальному изменению сопротивления, при котором заметно отличие в характере колебаний.

Теперь определим $R_{кр}$ из графика. Для того, чтобы можно было вычислять Θ с достаточной точностью, будем проводить измерения при $R \geq 3R_{кр}$. Экспериментальные данные вместе с пересчитанными значениями занесены в таблицу 2. По этим данным построим график требуемой зависимости (рис. 4)

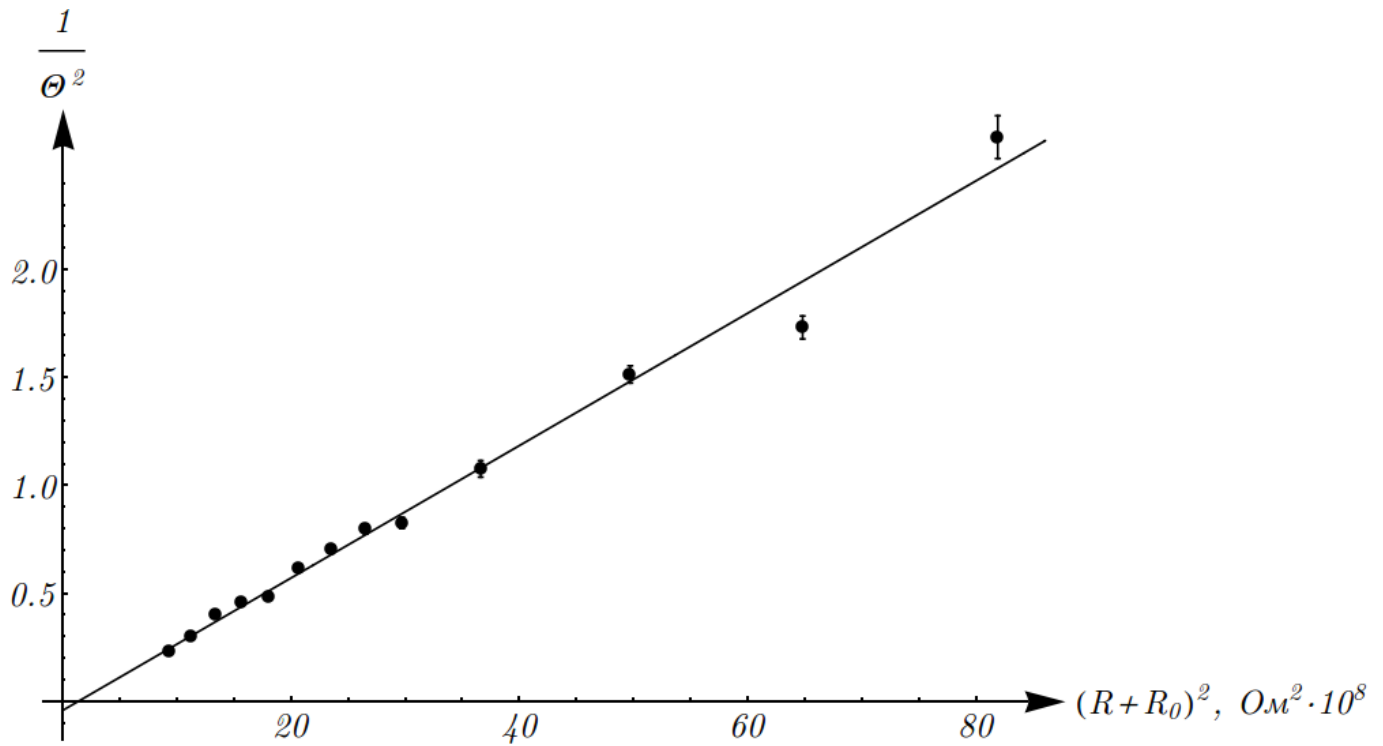


Рис. 4: График зависимости $\frac{1}{\Theta^2} ((R_0 + R)^2)$

Из графика по МНК определим коэффициент наклона:

$$k \approx (0,31 \pm 0,01) \cdot 10^{-9} \text{ Ом}^{-2}. \quad (38)$$

Таким образом, по формуле (36) получаем искомое значение:

$$R_{кр} \approx (8,6 \pm 0,3) \text{ кОм}. \quad (39)$$

Здесь в таблице 2 погрешности x_0 и x_1 принимались

$$\Delta x_0 = \Delta x_1 = \Delta x = 0,2 \text{ см}, \quad (40)$$

погрешность $\frac{1}{\Theta^2}$ вычислялась по формуле

$$\Delta \frac{1}{\Theta^2} = \frac{\Delta x \sqrt{\frac{1}{x_0^2} + \frac{1}{x_1^2}}}{\Theta} \frac{1}{\Theta^2}, \quad (41)$$

погрешность измерения сопротивления считалась малой, а погрешность $R_{кр}$ вычислялась по формуле

$$\Delta R_{кр} = \frac{\Delta k}{k} R_{кр}. \quad (42)$$

4. Определение баллистической постоянной и критического сопротивления гальванометра.

Экспериментальная установка. Схема для измерений в баллистическом режиме представлена на рис. 5. В коробке с выводами находится сложная схема с кнопками для обеспечения правильных измерений. Емкость конденсатора $C = 2 \text{ мкФ}$, $\frac{R_1}{R_2} = \frac{1}{40}$, и это отношение остается постоянным.

Заряд на конденсаторе выражается формулой

$$q = CU_C = \frac{R_1}{R_2} UC \quad (43)$$

При нажатии на кнопку этот заряд быстро проходит через гальванометр и сопротивление R , таким образом достигается баллистический режим. Если измерят угол отклонения так же, как и в части 2, то из (17) выражение для C_q примет вид

$$C_Q = 2a \frac{R_1}{R_2} \frac{UC}{l_{\max}}, \quad (44)$$

где l_{\max} - максимальное отклонение луча. Таким образом, в критическом режиме

$$C_{Q_{кр}} = 2a \frac{R_1}{R_2} \frac{UC}{l_{\max_{кр}}} \quad (45)$$

Из (20) в критическом режиме угол отклонения, а значит и l_{\max} , в e раз меньше, чем при отсутствии трения. Чтобы измерить l_{\max} в этом режиме ($l_{\max 0}$), измерим максимальное отклонение при отключенном от цепи гальванометре $l_{\max 1}$ и декремент затухания Θ_1 . Тогда из определения декремента затухания следует, что

$$l_{\max 0} = l_{\max 1} \cdot e^{\frac{\Theta_1}{4}}. \quad (46)$$

После этого остается снять зависимость $l_{\max}(R)$, и с помощью экстраполяции найти точку, в которой

$$l_{\max} = \frac{l_{\max 0}}{e}. \quad (47)$$

Это удобно делать в координатах $l_{\max} \left(\frac{1}{R+R_0} \right)$, т.к. несложно показать, что при $\gamma \ll \omega_0$, то есть при достаточно больших R , график в них линеен.

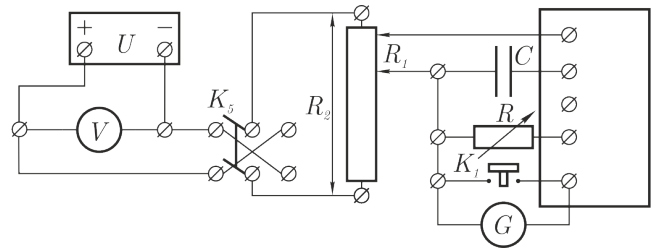


Рис. 5: Схема установки для работы в баллистическом режиме

Обработка данных. Сначала проведем измерения при отключенном от цепи гальванометре. Для периода таких колебаний получим значение

$$T_0 \approx (6,43 \pm 0,02) \text{ с}, \quad (48)$$

этот результат получен из измерения времени 13 колебаний, время реакции принималось равным 0,2 с. Значение максимального отклонения

$$l_{\max 1} \approx (21,3 \pm 0,2) \text{ см}, \quad (49)$$

значение следующего отклонения

$$l_1 \approx (15,4 \pm 0,2) \text{ см}. \quad (50)$$

Отсюда по определению

$$\Theta_1 = \ln \frac{l_1}{l_{\max 1}} \approx 0,32 \pm 0,02. \quad (51)$$

Таким образом, из (46) получим

$$l_{\max 0} \approx (23,1 \pm 0,2) \text{ см}. \quad (52)$$

Погрешность была вычислена по формуле

$$\Delta l_{\max 0} = l_{\max 0} \frac{\Delta l_{\max 1}}{l_{\max 1}}, \quad (53)$$

т.к.

$$\Delta e^{\frac{\Theta_1}{4}} = \frac{\Delta \Theta_1}{4} e^{\frac{\Theta_1}{4}}, \quad (54)$$

а эта величина мала (относительная погрешность получится на порядок меньше $\frac{\Delta l_{\max 1}}{l_{\max 1}}$). Также теперь несложно найти $l_{\max \text{кр}}$:

$$l_{\max \text{кр}} = \frac{l_{\max 0}}{e} \approx (8,5 \pm 0,1) \text{ см}. \quad (55)$$

Теперь снимем зависимость $l_{\max}(R)$. Экспериментальные данные вместе с пересчитанными значениями занесены в таблицу 3.

| | | | | | | | | | |
|--|------|------|------|------|------|------|------|------|-------|
| $R, \text{ кОм}$ | 50 | 40 | 35 | 30 | 25 | 20 | 15 | 10 | 5 |
| $l_{\max}, \text{ см}$ | 17.1 | 16.4 | 15.9 | 15.3 | 15 | 14 | 12.3 | 10.4 | 7.1 |
| $\frac{1}{R+R_0}, \text{ Ом}^{-1} \cdot 10^{-5}$ | 1.98 | 2.47 | 2.82 | 3.28 | 3.93 | 4.88 | 6.46 | 9.55 | 18.26 |

Таблица 3: Данные для измерения $R_{\text{кр}}$

Погрешность измерения l_{\max} принята

$$\Delta l_{\max} = 0,2 \text{ см}, \quad (56)$$

погрешность измерения сопротивления считаем малой. По этим данным построим график зависимости $l_{\max} \left(\frac{1}{R+R_0} \right)$, он изображен на рис. 6.

Хотя при больших R зависимость действительно линейна, на всем измеренном диапазоне она хорошо аппроксимируется зависимостью вида $a\sqrt{x} + bx + c$ (такое фитирование и представлено на рис. 6). Зная $l_{\max \text{кр}}$, находим точку, которая соответствует такому отклонению, это точка

$$G = \frac{1}{R + R_0} \approx (11,1 \pm 0,3) \text{ Ом}^{-1} \cdot 10^{-5}, \quad (57)$$

погрешность была оценена по крайним значениям. Отсюда, т.к. эта точка критическая, находим $R_{кр}$:

$$R_{кр} = \frac{1}{G} - R_0 \approx 8,5 \pm 0,3 \text{ кОм}, \quad (58)$$

погрешность была найдена по формуле

$$\Delta R_{кр} = R_{кр} \frac{\Delta G}{G}. \quad (59)$$

Осталось найти $C_{Q_{кр}}$ из выражения (45), получим

$$C_{Q_{кр}} = (1,98 \pm 0,04) \cdot 10^{-6} \text{ Кл}, \quad (60)$$

выражение для погрешности:

$$\Delta C_{Q_{кр}} = C_{Q_{кр}} \sqrt{\left(\frac{\Delta U}{U}\right)^2 + \left(\frac{\Delta l_{\max_{кр}}}{l_{\max_{кр}}}\right)^2 + \left(\frac{\Delta a}{a}\right)^2} \quad (61)$$

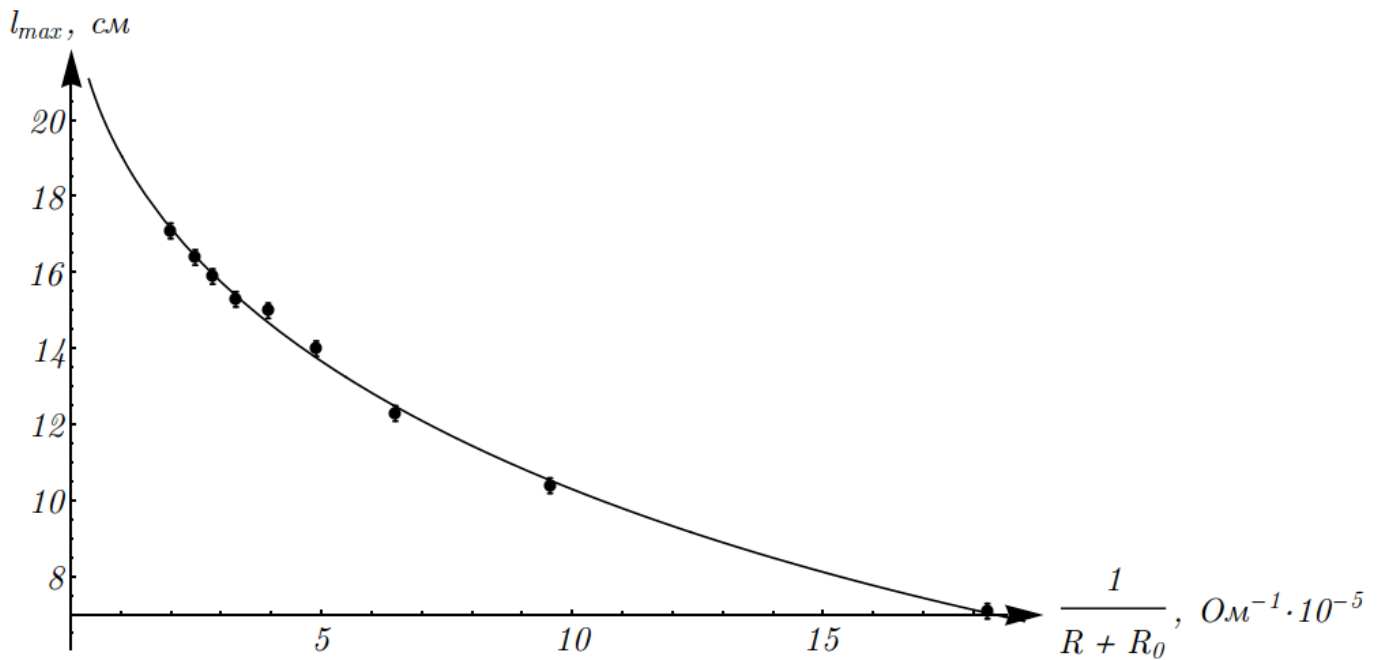


Рис. 6: График зависимости $l_{\max} \left(\frac{1}{R+R_0} \right)$

Ранее в этой части был измерен T_0 . Сравним его с величиной $R_0 C$:

$$R_0 C \approx 1 \text{ мс} \ll T_0. \quad (62)$$

5. Заключение

Мы измерили постоянные гальванометра, и, тремя разными способом, критическое сопротивление. Все они дали довольно близкие значения, но наибольшее отклонение от остальных у метода подбора (у двух оставшихся почти одинаковы результаты). Кроме того, мы сравнили характерное время разрядки с периодом колебаний, и получили, что его можно действительно считать малым.